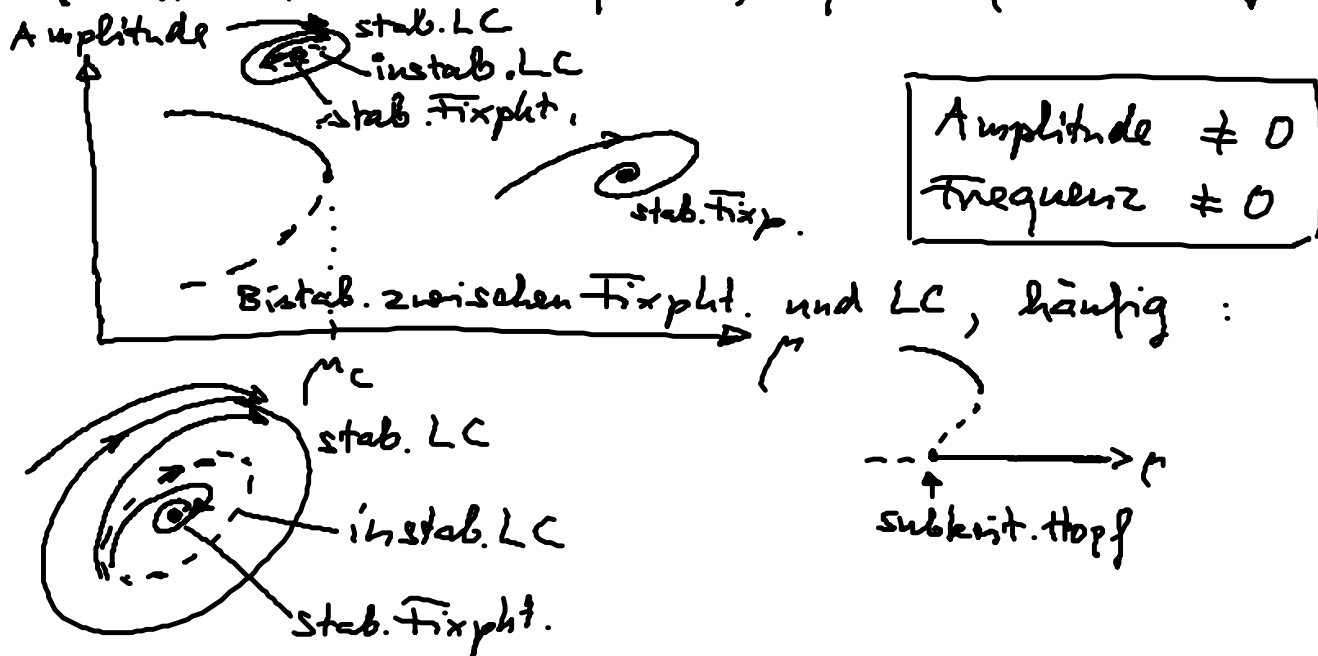


# (C) Lokale Bifurkation von Grenzzyklen

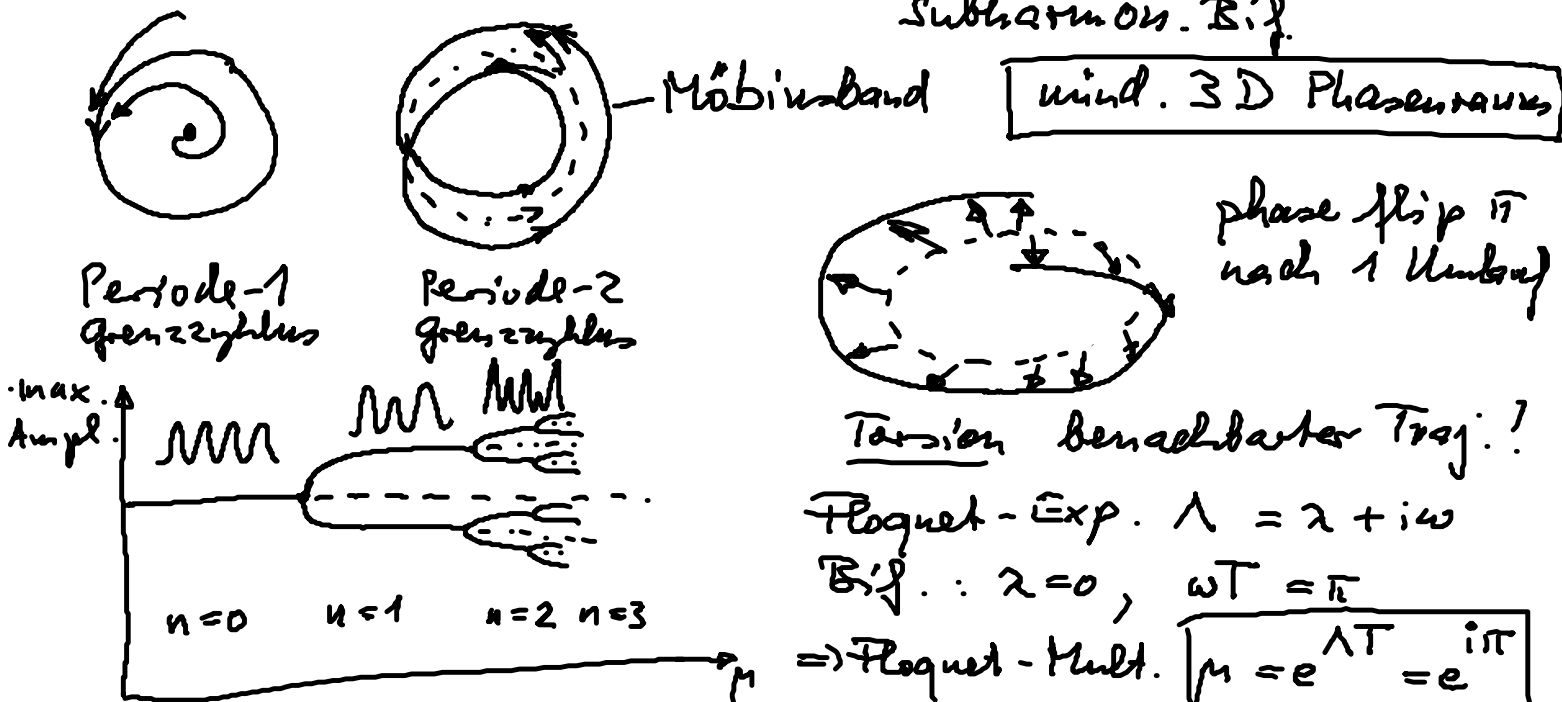
Startpunkt jetzt: Grenzzyklus, nicht Fixpt.  
keine einfache lin. Stabilitätsanalyse

## (C1) Sattel-Knoten-Bifurkation eines Grenzzyklus

(Kondensation von Pfaden, fold bifurcation of LC)



## (C2) Perioden-Verdopplung (flip-Bifurkation, Subharmon. Bif.)

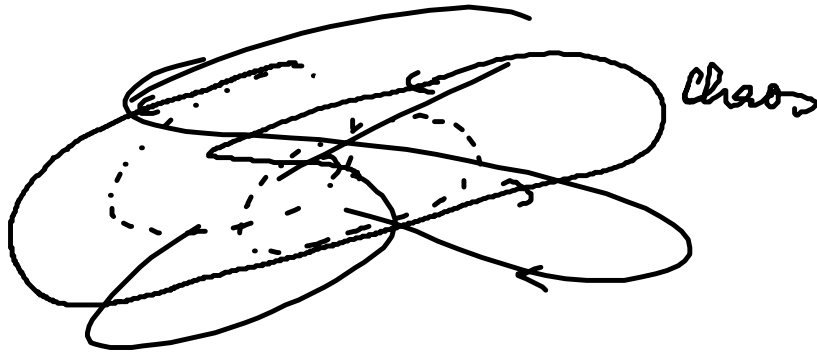


T 2T 4T ... 2^n T

= -1

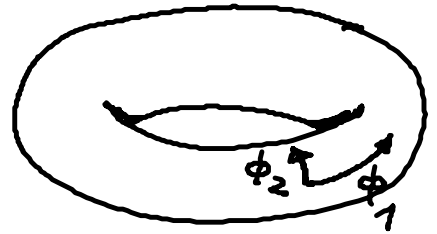
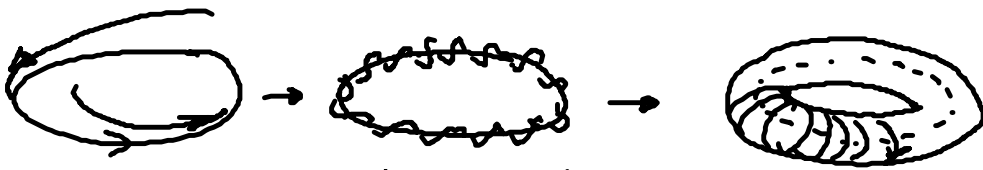
häufig Periodenverdopplungskaskade  $\rightarrow$  Chaos  
(Feigenbaum-Szenario)

$\rightarrow$  unendlich viele instabile period. Orbits der Perioden  $2^n T$   
( $n=0, 1, 2, \dots$ )



(C3) Sacker-Neimark-Bifurkation

(Sekundäre Hopf-Bif. eines Grenzzyklus)



- 1. Hopf-Bif. des Fixpunktes :  $\phi_1 = \omega_1 t$
- 2. Hopf-Bif. des LC :  $\phi_2 = \omega_2 t$

LC  $\longrightarrow$  2-Torus

mind. 3D Phasenraum

inkommensurable Frequenzen  $\frac{\omega_1}{\omega_2} \notin \mathbb{Q}$   
(quasiperiodisch) irrational

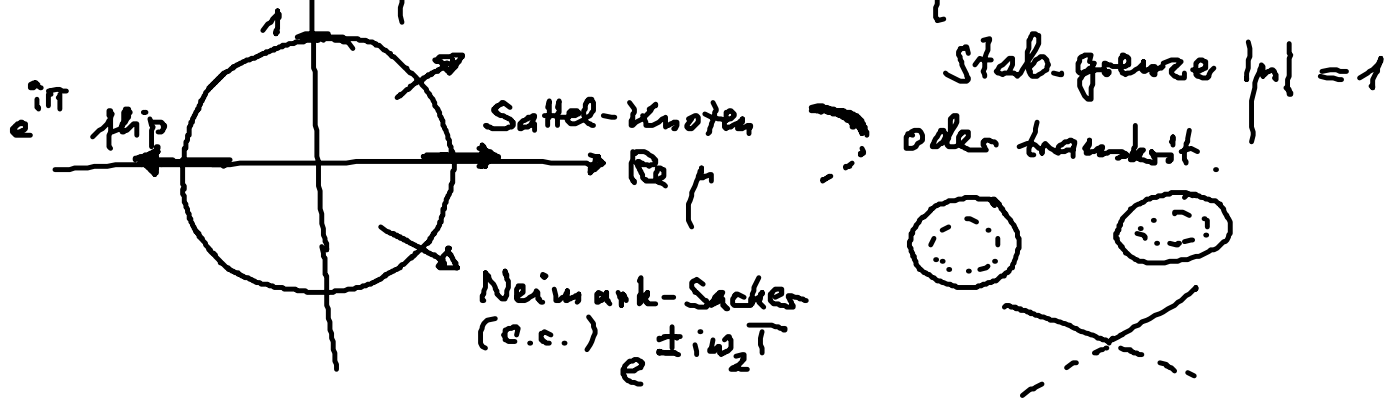
$\Rightarrow$  Trajektorie schließt sich nicht, liegt dicht auf dem Torus

falls  $\frac{\omega_1}{\omega_2} \in \mathbb{Q} \Rightarrow$  geschlossener Orbit = LC  
(frequency locking)  
Modenhopping

Instabilität von Grenzzyklen : Floquet-Multiplikator

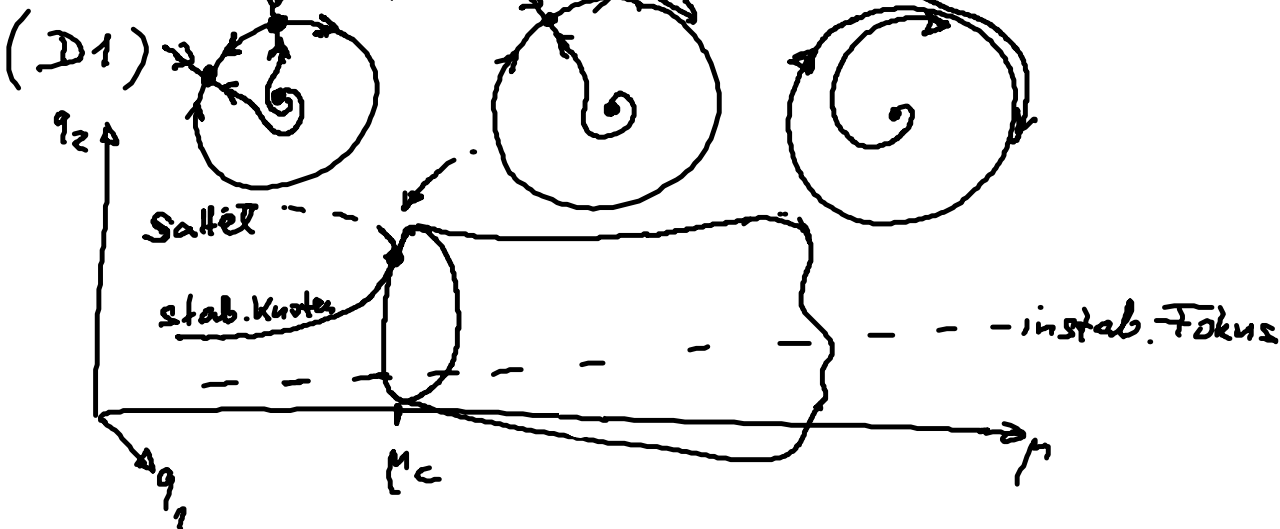
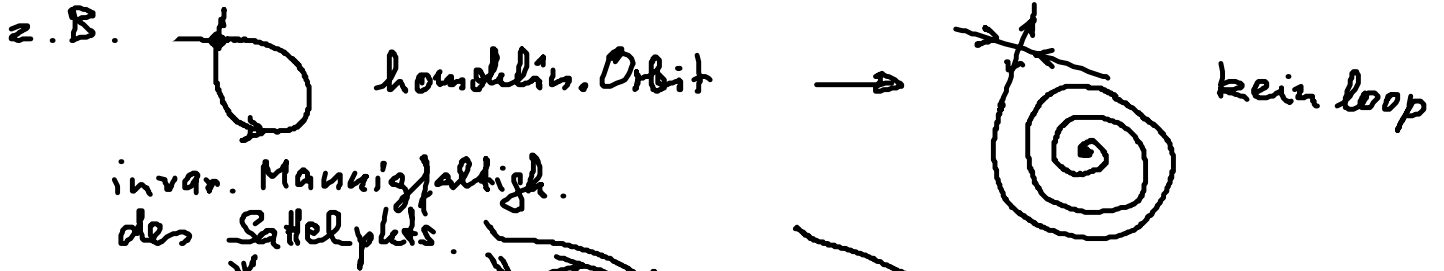
$\Delta \text{Im } \mu$

$\mu = e^{\Lambda T}$



(D) globale Bifurkation von Grenzzyklen

globale qualitative Änderung des Phasenporträts,

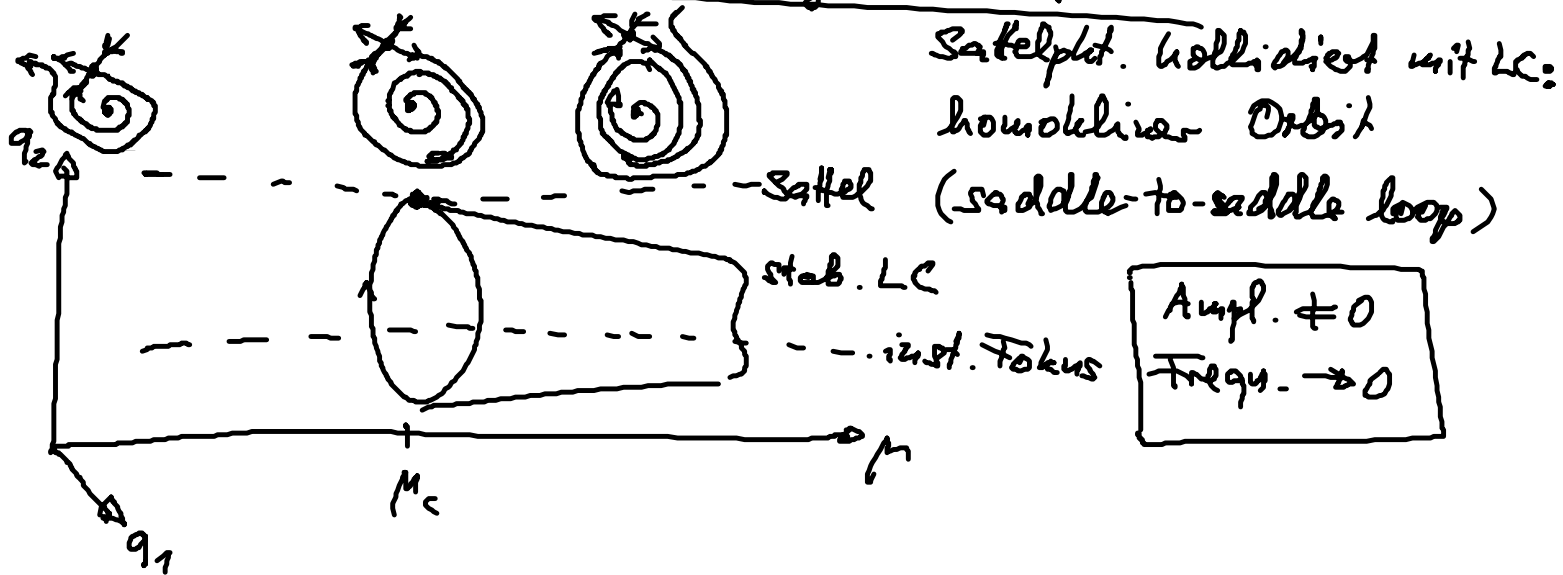


(D1) Sattel-Knoten-Bif. auf einem Grenzzyklus (Omega explosion)

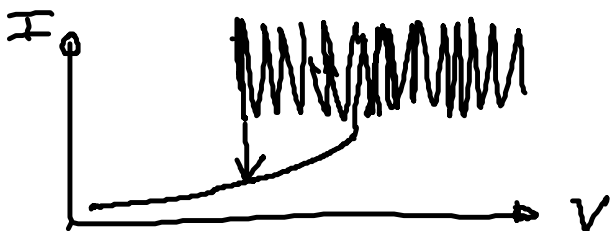
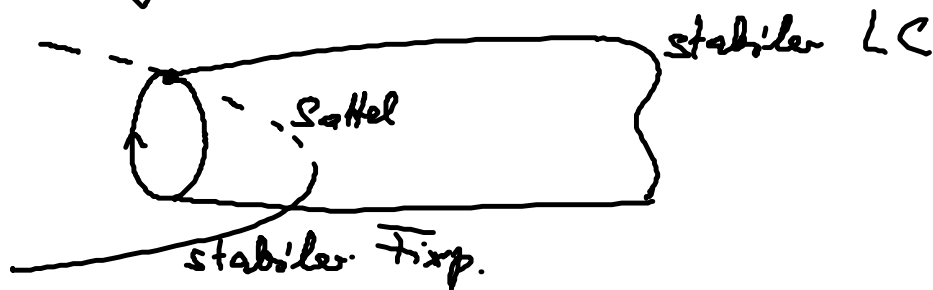
saddle-node infinite period (SNIPER)  
 saddle-node on invariant cycle (SNIC)

Amplitude $\neq 0$
Frequ. $\rightarrow 0$

# (D2) Homokline Bif. (blue-sky catastrophe)



häufig Bistab. zwischen Orz. u. Fixpt., z.B.



## Einfaches generisches Modell für SNIPER

(Ditzinger, Ning, Hu: PRL 50, 3508 (94))

Hu, Ditzinger, Ning, Haken: PRL 71, 87 (93)

Hizanidis, Anst, Schöll; Int. J. Bif. Chaos 18, 1759 (08)

$$\begin{cases} \dot{x} = x(1-x^2-y^2) + y(x-b) \\ \dot{y} = y(1-x^2-y^2) - x(x-b) \end{cases}$$

in Polarkoord.  $x = r \cos \varphi$ ,  $y = r \sin \varphi$ :

$$\begin{cases} \dot{r} = r(1-r^2) \\ \dot{\varphi} = b - r \cos \varphi \end{cases}, b > 0 \quad \begin{pmatrix} \delta \dot{r} \\ \delta \dot{\varphi} \end{pmatrix} = \begin{pmatrix} 1-3r^2 & 0 \\ -\cos \varphi & r \sin \varphi \end{pmatrix}$$

Fixpunkte:  $r = 0$  (immer instab. Fokus,  $\ddot{u}$ )

$$r=1, b = \cos \varphi \Rightarrow \varphi = \arccos b \quad (b < 1)$$

für  $b > 1$ : LC mit  $r=1, \dot{\varphi} = b - \cos \varphi > 0 \quad \forall \varphi$

$$\frac{2\pi}{\sqrt{b^2 - 1}} = \int_0^{2\pi} \frac{d\varphi}{b - \cos \varphi} = \int_0^T dt = T$$

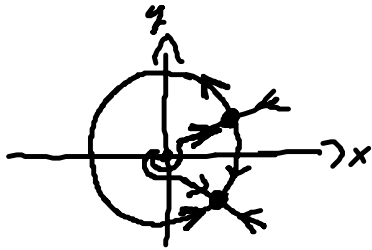
Bif. pkt.:  $b = 1 \Rightarrow T \rightarrow \infty$  (Frequ.  $\rightarrow 0$ )

Fixpunkte auf dem Kreis  $r=1$ :

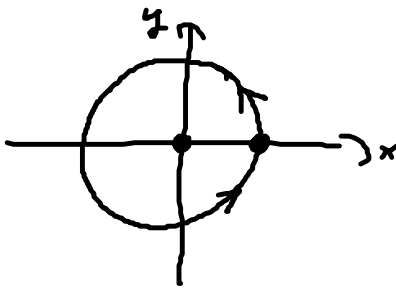
$$(x^*, y^*) = (b, +\sqrt{1-b^2}) \text{ Sattelpkt. } (\Lambda = \begin{Bmatrix} -2 \\ \sqrt{1-b^2} \end{Bmatrix})$$

$$= (b, -\sqrt{1-b^2}) \text{ stab. Kn. } (\Lambda = \begin{Bmatrix} -2 \\ -\sqrt{1-b^2} \end{Bmatrix})$$

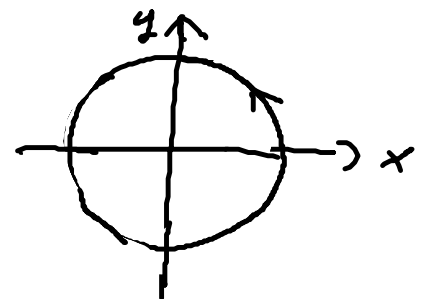
Sattel-Knoten-Bif.:  $b = 1$



$b < 1$



$b = 1$



$b > 1$

(Anregbarkeit Typ I)

(E) Bifurkation von räumlichen Mustern

$$\frac{\partial}{\partial t} \underline{q}(x, t) = \underline{F}(\underline{q}, \mu) + D \Delta \underline{q}$$

Diff.konst.  $D$

Lineare Stab.  $\underline{q} \sim e^{\lambda t} e^{i \underline{k} x}$   
der Fixpunkte. (räuml. homogen)

$\Rightarrow$  Dispersionsrel.  $\lambda(\underline{k})$

$\Rightarrow \text{Re } \lambda(\underline{k}) < 0$  stabil  
 $> 0$  instabil

$= 0$  Bif. von räumlich-period. Lösungen  
mit Wellenvektor  $\underline{k}$